

# Indice

<b>Introduzione</b>	<b>ii</b>
<b>1 Preliminari</b>	<b>1</b>
1.1 Classificazione delle varietà di dimensione uno e due . . . . .	1
1.2 Omotopia e Stabilità . . . . .	2
1.3 Trasversalità . . . . .	5
1.4 Teorema di Sard . . . . .	7
1.5 Varietà orientabili . . . . .	7
1.6 Numero di intersezione . . . . .	9
<b>2 Teoria del punto fisso di Lefschetz</b>	<b>13</b>
2.1 Punti fissi e applicazioni Lefschetz . . . . .	13
2.2 Numero di Lefschetz . . . . .	14
2.3 Splitting proposition . . . . .	18
2.4 Molteplicità in $x$ per $f$ . . . . .	19
<b>3 Caratteristica di Eulero-Poincaré</b>	<b>25</b>
<b>Bibliografia</b>	<b>31</b>

# Introduzione

Lo studio dei punti fissi per un'applicazione  $f : X \rightarrow X$  ( $X$ , spazio topologico, varietà differenziabile, spazio metrico) è di importanza capitale in varie branche della matematica. Ricordiamo per esempio, il *Teorema del punto fisso di Brouwer* che afferma l'esistenza di un punto fisso per un'applicazione continua  $f : X \rightarrow X$  nel caso in cui  $X$  è omeomorfo al disco  $n$ -dimensionale in  $\mathbb{R}^n$  oppure il *Teorema delle contrazioni*, ben noto agli analisti, che assicura l'esistenza di un unico punto fisso quando  $f : X \rightarrow X$  è una contrazione e  $X$  è uno spazio metrico completo.

In questa tesi viene sviluppata la teoria del punto fisso di Lefschetz, che consiste nello studio dei punti fissi di un'applicazione differenziabile  $f : X \rightarrow X$ , quando  $X$  è una varietà liscia compatta e orientata, mediante gli strumenti tipici della topologia differenziale quali la trasversalità e l'omotopia.

Un punto fisso  $x \in X$  di Lefschetz per  $f$  è un punto fisso ( $f(x) = x$ ) tale che  $df_x - I$  sia un isomorfismo, dove  $df_x : T_x(X) \rightarrow T_x(X)$  denota il differenziale di  $f$  in  $x$  e  $I$  è l'applicazione identità di  $T_x(X)$ . Ad un'applicazione  $f : X \rightarrow X$  per la quale tutti i punti fissi sono Lefschetz (chiamata appunto *applicazione di Lefschetz*) si può associare un importante invariante omotopico: il *numero di Lefschetz*, denotato in questa tesi con  $L(f)$ . Questo è definito come il numero di intersezione della diagonale  $\Delta(X) = \{(x, x) : x \in X\}$  e del grafico  $\text{graf}(f) = \{(x, f(x)) : x \in X\}$ . Nonostante la loro apparente peculiarità i punti fissi di Lefschetz e il corrispondente  $L(f)$  permettono lo studio dei punti fissi (isolati) di un'applicazione  $f : X \rightarrow X$  non necessariamente di Lefschetz. Infatti, come vedremo in questa tesi un qualunque punto fisso isolato  $x \in X$  di  $f$  può essere "spezzato" in un numero finito di punti Lefschetz. Più precisamente (vedi Proposizione 28) esiste un intorno  $U$  di  $x$  (non contenente altri punti fissi per  $f$  al di fuori di  $x$ ) e  $f_1 : X \rightarrow X$  omotopa a  $f$ , coincidente con quest'ultima fuori da  $U$  e tale che i punti fissi di  $f_1$  in  $U$  siano in numero finito e di Lefschetz. Conseguentemente, un'applicazione  $f$  che abbia solo punti fissi isolati è omotopa a un'applicazione Lefschetz

$f_1 : X \rightarrow X$ . Inoltre il numero di Lefschetz di  $f_1$  è uguale alla somma delle molteplicità dei punti fissi di  $f$  (vedi Proposizione 32).

Questa tesi è organizzata come segue. Nel primo capitolo vengono brevemente richiamati (senza dimostrazione) alcuni risultati e strumenti della topologia differenziale, quali la classificazione delle curve e delle superfici, il concetto di omotopia, trasversalità ed il celebre Teorema di Sard che ci assicura che l'insieme dei valori critici di una applicazione differenziabile tra due varietà lisce  $f : X \rightarrow Y$  è un insieme di misura nulla in  $Y$ . Vengono inoltre introdotti i concetti di numero di intersezione e grado per applicazioni definite su varietà orientate.

Nel secondo capitolo, che rappresenta il cuore di questa tesi, viene sviluppata la teoria del punto fisso di Lefschetz, e vengono dimostrate in dettaglio le proprietà precedentemente illustrate riguardanti il numero di Lefschetz.

Nel terzo e ultimo capitolo, definiamo la caratteristica di Eulero-Poincaré  $\chi(X)$  di una varietà  $X$  compatta e orientata attraverso il numero di (auto)intersezione della diagonale  $\Delta(X) \subset X \times X$  e i suoi legami con il numero di Lefschetz. Più precisamente (vedi Proposizione 34) mostriamo che se  $f : X \rightarrow X$  è omotopa all'identità allora  $L(f) = \chi(X)$ . Questo ci consentirà di calcolare la caratteristica di Eulero della sfera, delle superfici e dei gruppi di Lie (vedi Proposizioni 35, 39 e 40).

# Capitolo 1

## Preliminari

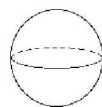
### 1.1 Classificazione delle varietà di dimensione uno e due

Ogni varietà unidimensionale  $X$  è diffeomorfa ad una delle quattro seguenti (vedi [2]):

	$\partial X \neq \emptyset$	$\partial X = \emptyset$
compatta	$[0, 1]$	$\mathbb{S}^1$
non compatta	$[0, 1)$	$(0, 1)$

Ogni varietà bidimensionale compatta, orientabile e senza bordo è diffeomorfa ad una delle seguenti:

- Superficie di genere 0: la sfera



- Superficie di genere 1: il toro (o ciambella)



- Superficie di genere 2: la ciambella con 2 buchi



- Superficie di genere  $k$ : la ciambella con  $k$  buchi



Questa classificazione può essere ottenuta dal punto di vista differenziale utilizzando la teoria di Morse (vedi [3]) o dal punto di vista topologico usando le triangolazioni (vedi [4]). Osserviamo che un classico (ma di difficile reperibilità) risultato afferma che due superfici omeomorfe sono anche diffeomorfe.

## 1.2 Omotopia e Stabilità

Diremo che due applicazioni differenziabili  $f_0 : X \rightarrow Y$  e  $f_1 : X \rightarrow Y$  tra varietà lisce  $X$  e  $Y$ , sono *omotope* se esiste un'applicazione liscia  $F : X \times I \rightarrow Y$  ( $I = [0, 1]$ ) tale che  $F(x, 0) = f_0(x)$  e  $F(x, 1) = f_1(x)$ .  $F$  è detta *omotopia* tra  $f_0$  e  $f_1$ .

**Proposizione 1.** *L'omotopia è una relazione di equivalenza.*

*Dimostrazione.* È chiaramente riflessiva: qualsiasi sia  $f : X \rightarrow Y$  basta considerare  $F(x, t) = f(x)$ . Anche la simmetria si prova semplicemente: se  $F : X \times I \rightarrow Y$  è l'omotopia tra  $f_0$  e  $f_1$  allora  $G(x, t) = F(x, 1 - t)$  è l'omotopia tra  $f_1$  e  $f_0$ .

Infine la transitività, sia  $f \sim g$  tramite  $F$  e  $g \sim h$  tramite  $G$  definisco:

$$H(x, t) = \begin{cases} F(x, 2t) & t \in [0, 1/2] \\ G(x, 2t - 1) & t \in (1/2, 1] \end{cases}$$

Se derivo rispetto a  $t$  noto subito che in generale:

$$\frac{\partial F(x, 1)}{\partial t} \neq \frac{\partial G(x, 0)}{\partial t}$$

Prendo una funzione liscia  $\rho : \mathbb{R} \rightarrow \mathbb{R}$  che vale 0 per  $x \leq 1/3$  e 1 per  $x \geq 2/3$ . Modifico  $H$  nella maniera seguente:

$$H(x, t) = \begin{cases} F(x, \rho(2t)) & t \in [0, 1/2] \\ G(x, \rho(2t - 1)) & t \in (1/2, 1] \end{cases}$$

In questo caso si ha:

$$\frac{\partial H(x, t)}{\partial t} = \begin{cases} 2 \frac{\partial F(x, \rho(2t))}{\partial t} \frac{d\rho(2t)}{dt} & t \in [0, 1/2] \\ 2 \frac{\partial G(x, \rho(2t - 1))}{\partial t} \frac{d\rho(2t)}{dt} & t \in (1/2, 1] \end{cases}$$

Essendo  $\rho$  costante per  $x \leq 1/3$  e  $x \geq 2/3$  per  $t = 1/2$  si ha:

$$\frac{d\rho(1)}{dt} = \frac{d\rho(0)}{dt} = 0$$

Abbiamo così costruito una funzione liscia  $H : X \times I \rightarrow Y$  con  $H(x, 0) = f(x)$  e  $H(x, 1) = h(x)$ , quindi un omotopia tra  $f$  e  $h$ .  $\square$

Diremo che una varietà  $X$  è *connessa per archi* se per ogni coppia di punti  $x_0$  e  $x_1$  esiste una curva liscia  $\gamma : I \rightarrow X$  tale che  $\gamma(0) = x_0$  e  $\gamma(1) = x_1$ . Poiché utilizziamo varietà localmente diffeomorfe a  $\mathbb{R}^k$  (con  $k$  dimensione della varietà), possiamo provare che

**Proposizione 2.** *Se una varietà  $X$  è connessa, allora è connessa per archi.*

*Dimostrazione.* Iniziamo col provare che la relazione “ $x, y \in X$  possono essere collegati con una curva liscia” è una relazione di equivalenza. La curva  $\gamma(t) = x$  per ogni  $t \in I$  è liscia quindi vale la proprietà riflessiva. Se  $\gamma(t)$  è liscia e  $\gamma(0) = x$ ,  $\gamma(1) = y$  allora  $\gamma(1 - t)$  è ancora liscia e vale la relazione è simmetrica. Infine, proviamo che è anche transitiva, siano  $\sigma(t)$  e  $\tau(t)$  lisce con  $\sigma(0) = x$ ,  $\sigma(1) = y$  e  $\tau(0) = y$ ,  $\tau(1) = z$  rispettivamente, allora

$$\gamma(t) = \begin{cases} \sigma(\rho(2t)) & t \in [0, 1/2] \\ \tau(\rho(2t - 1)) & (1/2, 1] \end{cases} \quad (1.1)$$

(dove  $\rho : \mathbb{R} \rightarrow \mathbb{R}$  è una funzione liscia che vale 0 per  $x \leq 1/3$  e 1 per  $x \geq 2/3$ ), è liscia e  $\gamma(0) = x$  e  $\gamma(1) = z$ .

Abbiamo ora una relazione di equivalenza su  $X$  che quindi definisce una partizione, qualora si provi che una classe di equivalenza è aperta, dalla definizione di connessione segue l'esistenza di un'unica classe di equivalenza, quindi che  $X$  è connessa per archi.

Ricordiamo che un insieme  $X$  è aperto se per ogni  $x \in X$  esiste un intorno  $U$  interamente contenuto in  $X$ . Se  $x$  e  $y$  appartengono alla stessa classe allora esiste una curva liscia  $\gamma'(t)$  che li collega. Consideriamo ora un intorno  $V \subset X$  di  $y$ , questo per la definizione di varietà è localmente diffeomorfo ad  $\mathbb{R}^k$  che è connesso per archi, quindi  $\forall z \in V$  esiste una curva liscia  $\gamma''(t)$ . La curva 1.1 è liscia e congiunge  $x$  e  $z$ .  $\square$

Sia  $f : X \rightarrow Y$  con  $\dim X \geq \dim Y$  diremo che  $f$  è una *subimmersione* in  $x$  se  $df_x : T_x(X) \rightarrow T_{f(x)}Y$  è suriettiva, e semplicemente *subimmersione* se è una subimmersione per ogni punto. Inoltre diremo che  $y \in Y$  è un *valore regolare* per  $f$  se  $\forall x \in f^{-1}(y)$ ,  $df_x$  è suriettiva, altrimenti sarà detto essere un *valore critico*. Diremo che  $x$  è un *punto regolare* se  $df_x$  è suriettiva viceversa diremo che  $x$  è un *punto critico*.

**Osservazione 1.** *Dalla definizione segue immediatamente che i punti  $y \in Y - f(X)$  sono valori regolari.*

La controimmagine di un valore regolare non è un insieme qualsiasi del dominio bensì

**Teorema 3.** *Se  $y$  è un valore regolare di  $f : X \rightarrow Y$ , allora la controimmagine  $f^{-1}(y)$  è una sottovarietà di  $X$ . Inoltre*

$$\dim f^{-1}(y) = \dim X - \dim Y.$$

Nel caso particolare in cui dominio e codominio abbiano la stessa dimensione e il dominio sia compatto abbiamo

**Teorema 4.** *Supponiamo che  $y$  sia un valore regolare per  $f : X \rightarrow Y$ , ove  $X$  è compatto e  $\dim X = \dim Y$ . Allora  $f^{-1}(y)$  è un insieme finito di punti  $\{x_1, \dots, x_n\}$ , inoltre esiste un intorno  $U$  di  $y$  in  $Y$  tale che  $f^{-1}(U)$  sia un'unione disgiunta  $V_1 \cup \dots \cup V_n$ , dove  $V_i$  è un intorno di  $x_i$  e  $f$  porta ogni  $V_i$  diffeomorficamente in  $U$ .*

*Dimostrazione.* Poichè  $\{y\}$  è un chiuso in  $Y$  la sua controimmagine  $f^{-1}(y)$  è un chiuso in  $X$  e un chiuso in un compatto è compatto, allora  $f^{-1}(y)$  è compatto. Dal teorema precedente sappiamo che

$$\dim f^{-1}(y) = \dim X - \dim Y$$

ma per ipotesi  $\dim X = \dim Y$  quindi  $\dim f^{-1}(y) = 0$ . Rimane da provare che una varietà compatta di dimensione zero è costituita da un numero finito di punti. Una varietà di dimensione zero ha solo punti isolati, cioè è discreta, quindi basta utilizzare la definizione di compatto o sfruttare il fatto che uno spazio topologico discreto è compatto se e solo se è finito.

I punti  $\{x_1, \dots, x_n\}$  di  $f^{-1}(y)$  sono isolati allora possiamo prendere  $n$  intorni  $W_i$  di  $x_i$  tra loro disgiunti. Sappiamo che  $df_x$  è suriettiva per ogni  $x \in f^{-1}(y)$ , essendo  $\dim T_x(X) = \dim T_y(Y)$  è anche iniettiva, allora per il teorema della funzione inversa  $f$  è un diffeomorfismo locale. Se poniamo  $U = \cap_i W_i$  e definiamo  $V_i = W_i \cap f^{-1}(U)$  per ogni  $i$ , abbiamo  $x_i \in V_i$  e  $f(V_i) = U$ .  $\square$

**Definizione 1.** Si dice che una proprietà è stabile quando  $f_0 : X \rightarrow Y$  la possiede e se  $f_t : X \rightarrow Y$  è un'omotopia di  $f_0$ , allora assegnato un  $\epsilon > 0$  ogni  $f_t$  con  $t < \epsilon$  possiede la proprietà in questione.

Una classe importante di applicazioni stabili è costituita dalle subimmersioni

**Proposizione 5.** La classe delle subimmersioni  $f : X \rightarrow Y$  con  $X$  compatto è stabile.

*Dimostrazione.* Se  $f_t$  è un'omotopia della subimmersione  $f_0$ , possiamo trovare un  $\epsilon > 0$  tale che  $d(f_t)_x$  sia suriettiva per ogni  $(x, t)$  in  $X \times [0, \epsilon) \subset X \times I$ . La compattezza di  $X$  implica che in ogni intorno di  $X \times \{0\}$  sia contenuto  $X \times [0, \epsilon]$ , purchè  $\epsilon$  sia sufficientemente piccolo. Quindi basta provare che ogni punto  $(x_0, 0)$  possiede un intorno  $U$  in  $X \times I$ , tale che  $d(f_t)_x$  sia suriettiva per ogni  $(x, t) \in U$ . La precedente affermazione è locale perciò dobbiamo provare solo il caso in cui  $X$  e  $Y$  sono aperti di  $\mathbb{R}^k$  e  $\mathbb{R}^l$  rispettivamente. La suriettività di  $d(f_0)_{x_0}$  implica che la sua jacobiana

$$\left( \frac{\partial(f_0)_i}{\partial x_j}(x_0) \right)$$

possieda un minore di ordine  $k$  non singolare. Rimane da considerare che ogni  $\frac{\partial(f_t)_i}{\partial x_j}(x)$  è una funzione continua in  $X \times I$ , essendo anche il determinante una funzione continua, dalla definizione di quest'ultima segue che il minore di ordine  $k$  non singolare continuerà a rimanere tale per ogni  $(x, t)$  in un intorno di  $(x_0, t)$ .  $\square$

### 1.3 Trasversalità

**Definizione 2.** Sia  $f : X \rightarrow Y$  una applicazione liscia tra varietà e  $Z \subset Y$  una sottovarietà di  $Y$ . Si dice che  $f$  è trasversale a  $Z$  se

$$\text{Imm}(df_x) + T_y(Z) = T_y(Y), \quad \forall x \in f^{-1}(Z).$$

Scriveremo  $f \bar{\cap} Z$  per indicare che  $f$  è trasversale a  $Z$ .

L'importanza di questa definizione è espressa dal seguente teorema.

**Teorema 6.** Se l'applicazione liscia  $f : X \rightarrow Y$  è trasversale ad una sottovarietà  $Z \subseteq Y$ , allora la controimmagine  $f^{-1}(Z)$  è una sottovarietà di  $X$ . Inoltre sussiste la seguente relazione tra le codimensioni:

$$\text{codim}_X(f^{-1}(Z)) = \text{codim}_Y(Z)$$



Quando  $Z = \{y\}$  il suo spazio tangente ha dimensione zero, quindi la condizione di trasversalità  $f \bar{\cap} \{y\}$  si ha per

$$df_x(T_x(X)) = T_y(Y) \quad \text{per ogni } x \in f^{-1}(y)$$

cioè quando  $df_x$  è suriettiva per ogni  $x \in f^{-1}(y)$ . Questa è proprio la definizione di valore regolare per  $f$  che abbiamo visto nella sezione precedente. Quindi la trasversalità è una generalizzazione della nozione di regolarità.

È interessante il caso della trasversalità dell'inclusione  $i : X \rightarrow Y$  (ovviamente  $X \subset Y$ ) con una sottovarietà  $Z \subset Y$ . In questo caso dire che un punto  $x \in X$  appartiene a  $i^{-1}(Z)$  equivale a dire  $x \in X \cap Z$ . Poichè il differenziale dell'inclusione è ancora un'inclusione, ma tra gli spazi tangenti, la condizione di trasversalità  $i \bar{\cap} Z$  si esprimerà

$$T_x(X) + T_x(Z) = T_x(Y) \quad \forall x \in X \cap Z.$$

In questo caso diremo che le due sottovarietà sono trasversali e scriveremo  $X \bar{\cap} Z$ .

**Proposizione 7.** *Ogni sottovarietà di  $X$  può essere localmente “descritta” da funzioni indipendenti.*

Chiariamo il significato, sia  $Z \subset X$  e  $z$  un suo punto, la proposizione precedente afferma che possiamo vedere  $Z$  in un intorno di  $z$  come l'insieme degli zeri di un sistema di funzioni lisce e indipendenti  $g_1, \dots, g_l$  dove  $g_i : X \rightarrow \mathbb{R}$  ed  $l$  è  $\text{codim}_X Z$ . Diremo che le  $l$  funzioni  $g_1, \dots, g_l$  sono indipendenti in  $x$  se e solo se  $d(g_1)_x, \dots, d(g_l)_x$ , dove  $d(g_i)_x : T_x(X) \rightarrow \mathbb{R}$ , sono linearmente indipendenti.

Siano date  $f : X \rightarrow Y$  e  $Z \subset Y$  con  $l = \text{codim}_Y Z$  localmente posso “descrivere”  $Z$  con  $g_1, \dots, g_l$ ,  $g_i : Y \rightarrow \mathbb{R}$ , funzioni indipendenti. Possiamo far vedere che  $g \circ f$  è una subimmersione nel punto  $x \in f^{-1}(Z)$  se e solo se  $df_x(T_x(X)) + T_y(Z) = T_y(Y)$ . Quest'ultima è la condizione di trasversalità  $f \bar{\cap} Z$ .

Con quanto appena osservato possiamo far vedere che

**Teorema 8.** *L'intersezione di due sottovarietà trasversali  $X, Z$  di  $Y$  è ancora una sottovarietà. Inoltre:*

$$\text{codim}_Y(X \cap Z) = \text{codim}_Y(X) + \text{codim}_Y(Z)$$

*Dimostrazione.* In un intorno di  $x \in X \cap Z$ , la sottovarietà  $X \subset Y$  è descritta da  $k = \text{codim}_Y X$  funzioni indipendenti, mentre  $Z \subset Y$  è descritta da  $l = \text{codim}_Y Z$  funzioni indipendenti. Allora  $X \cap Z$  localmente è l'insieme degli zeri delle  $k + l$  funzioni di cui sopra; richiedere che queste siano linearmente indipendenti corrisponde con la condizione di trasversalità.  $\square$

**Osservazione 2.** *Due sottovarietà  $X, Z$  di  $Y$  con intersezione vuota sono trasversali.*

**Teorema 9.** *La trasversalità è una proprietà generica.*

Cosa vuol dire il teorema precedente? Se io ho una qualsiasi applicazione liscia  $f : X \rightarrow Y$ , su cui non faccio alcuna ipotesi circa il suo comportamento rispetto ad una sottovarietà data  $Z \subset Y$ , posso “deformarla” in modo liscio tale da renderla trasversale a  $Z$ .

Possiamo provare la classe delle applicazioni  $f : X \rightarrow Y$  con  $X$  compatto, trasversali ad una data sottovarietà chiusa  $Z \subset Y$  è stabile. Per fare questo utilizziamo la seguente teoria ed il fatto che la classe delle subimmersioni  $f : X \rightarrow Y$  con  $X$  compatto, è stabile.

**Teorema 10** (Teorema di estensione). *Se, per  $f : X \rightarrow Y$ , l'applicazione  $\partial f : \partial X \rightarrow Y$  è trasversale a  $Z$ , allora esiste una applicazione  $g : X \rightarrow Y$  omotopa ad  $f$  tale che  $\partial g = \partial f$  e  $g \bar{\cap} Z$ .*

## 1.4 Teorema di Sard

Diremo che un insieme  $A$  ha misura nulla o zero se, fissato un  $\epsilon > 0$ , esiste una famiglia numerabile di insiemi  $\{A_1, A_2, \dots\}$  di parallelepipedi in  $\mathbb{R}^k$ , tali che  $A$  sia contenuto nell'unione degli  $A_i$  e

$$\sum_{i=1}^{\infty} \text{volume}(A_i) < \epsilon.$$

**Teorema 11** (Teorema di Sard). *L'insieme dei valori critici di una applicazione liscia tra varietà  $f : X \rightarrow Y$  ha misura nulla.*

## 1.5 Varietà orientabili

Iniziamo col definire l'orientazione su una base ordinata di  $V$ , spazio vettoriale di dimensione finita.

Sappiamo che date due basi (che supporremo ordinate),  $\beta$  e  $\beta'$ , per  $V$  esiste un unico isomorfismo che porta  $\beta$  in  $\beta'$ , chiamiamolo  $A$ . Adesso se  $\det(A) > 0$  diremo che  $\beta$  e  $\beta'$  hanno la stessa orientazione, se invece  $\det(A) < 0$  diremo che hanno orientazione opposta. Grazie al teorema di Binet ( $\det(AB) = \det(A)\det(B)$ ) con quanto appena visto possiamo definire una relazione di equivalenza tra le basi ordinate:  $\beta \sim \beta'$  se hanno la stessa orientazione. Esistono esattamente due classi di equivalenza.

**Osservazione 3.** È importante l'ordine degli elementi della base infatti sia  $(e_1, e_2, \dots, e_n)$  la base canonica di  $\mathbb{R}^n$  così ordinata, è immediato notare (basta calcolare il determinante della matrice del cambiamento di base) che questa ha orientazione opposta rispetto alla base ordinata  $(e_2, e_1, \dots, e_n)$ .

Diremo che la base canonica di  $\mathbb{R}^n$  è orientata positivamente. Quando una base  $\beta$  risulterà orientata come la base canonica scriveremo  $\text{segn}(\beta) = +1$ ,  $-1$  altrimenti.

Se  $V = V_1 \oplus V_2$  allora l'orientazione di due di questi spazi vettoriali induce una orientazione sul terzo. Prendiamo  $\beta_1$  e  $\beta_2$  basi di  $V_1$  e  $V_2$  rispettivamente e imponiamo  $\beta = (\beta_1, \beta_2)$  come base ordinata per  $V$ . Chiediamo che  $\text{segn}(\beta) = \text{segn}(\beta_1) \cdot \text{segn}(\beta_2)$ . Essendo i due spazi  $V_1$  e  $V_2$  orientati questa procedura assegna un unico segno di orientazione per  $V$ . Per quanto osservato prima l'orientazione di  $V$  è indipendente dalla scelta delle basi  $\beta_1$  e  $\beta_2$ . Bisogna fare attenzione all'ordine con cui si fa la somma diretta infatti l'orientazione di  $(\beta_1, \beta_2)$  potrebbe essere diversa da quella di  $(\beta_2, \beta_1)$ .

Una *orientazione* su  $X$ , varietà differenziabile (con bordo), è una scelta liscia di orientazione per ogni spazio tangente  $T_x(X)$ . Per condizione liscia si intende che: intorno ad ogni punto  $x \in X$  esiste una parametrizzazione locale  $h : U \rightarrow X$  tale che  $dh_u : \mathbb{R}^k \rightarrow T_{h(u)}(X)$  preserva l'orientazione in ogni punto del dominio  $U \subset \mathbb{R}^k$  ( $U \subset \mathbb{H}^k$ ).

**Definizione 3.** Diremo che  $X$  è una varietà orientabile se possiede una orientazione.

Non tutte le varietà possiedono un orientazione, l'esempio classico è il nastro di Möbius, proveremo che non è orientabile dopo aver introdotto il numero di intersezione.

**Proposizione 12.** Se  $X$  è connessa e orientabile, allora ammette esattamente due orientazioni.

Siano  $X$  e  $Y$  orientate e almeno una senza bordo (il prodotto di due varietà con bordo in generale non è una varietà), allora possiamo dotare  $X \times Y$  di un *orientazione prodotto* nel modo seguente. In ogni punto  $(x, y) \in X \times Y$ ,

$$T_{(x,y)}(X \times Y) = T_x(X) \times T_y(Y) \quad (1.2)$$

Siano  $\alpha = \{v_1, \dots, v_k\}$  e  $\beta = \{w_1, \dots, w_l\}$  basi ordinate per  $T_x(X)$  e  $T_y(Y)$ , rispettivamente, chiamiamo  $(\alpha \times 0, 0 \times \beta)$  la base ordinata per  $T_x(X) \times T_y(Y)$ . Definiamo l'orientazione su  $T_x(X) \times T_y(Y)$  in accordo con

$$\text{segn}(\alpha) \cdot \text{segn}(\beta).$$

**Osservazione 4.** Se  $X$  è una varietà orientabile, senza bordo e  $\beta$  è una base ordinata per  $T_x(X)$  allora è una base anche per  $T_y(X)$ . Allora  $\beta' = (\beta \times 0, 0 \times \beta)$  è una base ordinata per  $T_x(X) \times T_y(X)$ , la cui orientazione è data da

$$\text{segn}(\beta') = \text{segn}(\beta) \cdot \text{segn}(\beta) = (\text{segn}(\beta))^2 = 1.$$

Quindi l'orientazione prodotto su  $X \times X$  non dipende da quella data su  $X$ .

Sia  $V$  uno spazio vettoriale e  $\beta = \{v_1, \dots, v_k\}$  una sua base ordinata,  $A$  è l'unico isomorfismo tra la base canonica di  $V$  e  $\beta$ , allora l'orientazione di  $\beta$  è data dal segno del determinante di  $A$ . Le colonne di  $A$  sono proprio i vettori  $\{v_1, \dots, v_k\}$ .

L'isomorfismo  $A'$  tra la base canonica e la base  $\beta'$  ottenuta moltiplicando il vettore  $v_i$  per lo scalare  $c \neq 0$ , è proprio la matrice  $A$  con la colonna  $i$  moltiplicata per  $c$ . Poichè si ha  $\det A' = c \det A$ , allora  $\beta'$  ha la stessa orientazione di  $\beta$  se  $c > 0$ , opposta se  $c < 0$ .

L'isomorfismo  $A'$  tra la base canonica e la base  $\beta'$  ottenuta scambiando tra loro i vettori  $v_i$  e  $v_j$ , è proprio la matrice  $A$  con le colonne  $i$  e  $j$  scambiate tra loro. Poichè si ha  $\det A' = -\det A$ , allora  $\beta'$  ha orientazione opposta rispetto a  $\beta$ .

L'isomorfismo  $A'$  tra la base canonica e la base  $\beta'$  ottenuta sottraendo dal vettore  $v_i$  una combinazione lineare degli altri  $\sum_{h \neq i} a_h v_h$ , è proprio la matrice  $A$  in cui alla colonna  $c_i$  è sottratta la combinazione lineare delle altre  $\sum_{h \neq i} a_h c_h$ . Poichè  $\det A' = \det A$ , allora  $\beta'$  ha la stessa orientazione di  $\beta$ . Abbiamo quindi provato la seguente proposizione.

**Proposizione 13.** Se  $\beta = \{v_1, \dots, v_k\}$  è una base ordinata per lo spazio vettoriale  $V$ . Allora

1. sostituendo a  $v_i$  con  $cv_i$ , dove  $c \neq 0$  è uno scalare, otteniamo una base ordinata con la stessa orientazione di  $\beta$  se  $c > 0$  con quella opposta se  $c < 0$ .
2. scambiando tra loro  $v_i$  e  $v_j$  otteniamo una base ordinata con orientazione opposta rispetto a  $\beta$
3. sottraendo da  $v_i$  una combinazione lineare degli altri otteniamo una base ordinata con la stessa orientazione di  $\beta$ .

## 1.6 Numero di intersezione

Siano  $X, Y$  e  $Z$  varietà senza bordo orientate,  $X$  compatto,  $Z$  chiuso in  $Y$ , se  $\dim X + \dim Z = \dim Y$  diremo che  $X$  e  $Z$  hanno *dimensione complementare*

in  $Y$ . Se  $f : X \rightarrow Y$  è trasversale a  $Z$ , allora  $f^{-1}(Z)$  è un chiuso in  $X$  compatto, quindi è compatto, inoltre per il Teorema 6 è una varietà e la sua dimensione è zero. Una varietà di dimensione zero compatta è costituita da un numero finito di punti (vedi Teorema 4).

Per  $f(x) = z \in Z$ , allora la trasversalità insieme alla complementarità dimensionale di  $X$  e  $Z$  da:

$$df_x(T_x(X)) \oplus T_z(Z) = T_z(Y)$$

Questo implica che  $df_x$  ristretto alla sua immagine debba essere un isomorfismo, così l'orientazione su  $X$  induce un'orientazione su  $df_x(T_x(X))$ . Allora il numero di orientazione di  $x$  è  $+1$  se l'orientazione di  $df_x(T_x(X)) \oplus T_z(Z)$  coincide con quella data su  $T_z(Y)$ ,  $-1$  altrimenti.

**Definizione 4.** *Il numero di intersezione  $I(f, Z)$  è la somma dei numeri di orientazione.*

Come si orienta il bordo di una varietà? Sia  $\beta$  una base ordinata per lo spazio tangente alla varietà senza bordo  $X - \partial X$ , orienteremo  $T_x(\partial X)$  imponendo che il segno di  $\beta$  coincida col segno della base  $\{n_x, \beta\}$ , ove  $n_x$  è il versore normale uscente dalla varietà in  $x$ .

Per  $X$  varietà compatta e con bordo di dimensione uno, il bordo  $\partial X$  ha dimensione zero (per il Teorema 4 ha solo un numero finito di punti) l'orientazione di  $T_x(\partial X)$  è data dal segno della base  $\{n_x\}$ . Per la classificazione delle varietà unidimensionali (vedi la Sezione 1.1) sappiamo che ogni varietà compatta e con bordo è diffeomorfa all'intervallo chiuso  $[0, 1]$ . Poiché in  $x = 1$  abbiamo  $n_1 = +1$  e in  $x = 0$  si ha  $n_0 = -1$ , allora

**Osservazione 5.** *La somma dei numeri di orientazione dei punti del bordo di una qualsiasi varietà con bordo, compatta e di dimensione uno è zero.*

**Proposizione 14.** *Se  $X = \partial W$  e  $f : X \rightarrow Y$  può essere estesa a  $W$  (compatto), allora  $I(f, Z) = 0$ .*

*Dimostrazione.* Sia  $X$  il bordo di una varietà compatta  $W$  e sia possibile estendere  $f$  ad  $F : W \rightarrow Y$ . Per l'Extension Theorem, possiamo porre  $F \bar{\cap} Z$ . Allora  $F^{-1}(Z)$  è una varietà compatta unidimensionale il cui bordo è  $\partial F^{-1}(Z) = f^{-1}(Z)$ . Non resta che utilizzare l'osservazione precedente.  $\square$

**Proposizione 15.** *Mappe omotope hanno sempre lo stesso numero di intersezione (che quindi è un invariante omotopico).*

*Dimostrazione.* Supponiamo che  $f_0$  e  $f_1$  siano omotope ed entrambe trasversali a  $Z$ . Sia  $F : I \times X \rightarrow Y$  una omotopia tra le due funzioni, sappiamo che  $I(\partial F, Z) = 0$ . Ora  $\partial(I \times X) = X_1 - X_0$  e attraverso l'identificazione di  $X_0$  e  $X_1$  con  $X$ ,  $\partial F$  equivale a  $f_0$  in  $X_0$  e  $f_1$  in  $X_1$ . Segue che:

$$\partial F^{-1}(Z) = \partial f_1^{-1}(Z) - f_0^{-1}(Z)$$

così

$$I(\partial F, Z) = I(f_1, Z) - I(f_0, Z).$$

□

Nel caso particolare in cui  $Z$  sia costituita da un unico punto  $\{y\}$ , abbiamo il seguente

**Teorema 16.** *Se  $Y$  è connessa e ha la stessa dimensione di  $X$ , il grado di una arbitraria applicazione liscia  $f : X \rightarrow Y$  è il numero di intersezione di  $f$  con un qualsiasi punto  $y \in Y$ :*

$$\deg(f) = I(f, \{y\}).$$

*Dimostrazione.* Preso un qualsiasi  $y \in Y$ , qualora sia necessario, modifichiamo  $f$  attraverso un omotopia che la renda trasversale a  $\{y\}$ . Sappiamo per il Teorema 4 che si può trovare un intorno  $U$  di  $y$  tale che la sua controimmagine  $f^{-1}(U)$  sia un'unione disgiunta  $V_1 \cup \dots \cup V_n$ , con  $V_i$  aperto in  $X$  diffeomorfo a  $U$  tramite  $f$ . Quindi  $\forall z \in U$   $I(f, \{z\}) = n$ . La funzione definita su  $Y$  che  $y \mapsto I(f, \{y\})$  è localmente costante, essendo  $Y$  connessa lo è globalmente. □

Essendo definito dal numero di intersezione che sappiamo essere un invariante omotopico, abbiamo che

**Corollario 17.** *Il grado è un invariante omotopico.*

Per calcolare il grado di una mappa  $f : X \rightarrow Y$  basta fissare un valore regolare  $y$  quindi considerare l'insieme finito  $\{x : f(x) = y\}$  e ad ogni punto  $x$  associare un numero di orientazione  $\pm 1$  a seconda che l'isomorfismo  $df_x : T_x(X) \rightarrow T_y(Y)$  conservi o meno l'orientazione.

Dalla definizione di grado appena data e dalla Proposizione 14 segue immediatamente la

**Proposizione 18.** *Sia  $f : X \rightarrow Y$  liscia tra varietà compatte, orientate, della stessa dimensione e  $X = \partial W$  ( $W$  compatto). Se  $f$  può essere estesa a tutto  $W$ , allora  $\deg(f) = 0$ .*

Quando anche  $X$  è una sottovarietà di  $Y$  possiamo definire il suo numero di intersezione con  $Z$  come  $I(X, Z) = I(i, Z)$  con  $i : X \rightarrow Y$ .

**Teorema 19.** *Se  $X$  e  $Z$  sono entrambe sottovarietà compatte di  $Y$ , allora*

$$I(X, Z) = (-1)^{(\dim X)(\dim Z)} I(Z, X)$$

In particolare se  $\dim Y = 2\dim X$  possiamo definire il *numero di autointersezione*  $I(X, X)$ . Ora se  $X$  ha dimensione dispari, allora  $I(X, X) = -I(X, X)$  così  $I(X, X) = 0$ .

## Capitolo 2

# Teoria del punto fisso di Lefschetz

### 2.1 Punti fissi e applicazioni Lefschetz

Sia  $f : X \rightarrow X$  una mappa con punto fisso  $x \in X$ ; cioè tale che  $f(x) = x$ , se  $+1$  non è un autovalore per  $df_x : T_x(X) \rightarrow T_x(X)$ , allora  $x$  è detto *punto fisso di Lefschetz* per  $f$ . Inoltre  $f$  è detta essere una *applicazione di Lefschetz* se tutti i suoi punti fissi sono Lefschetz.

Qual'è il significato della condizione Lefschetz? Chiedere che un punto sia Lefschetz equivale al richiedere che un punto fisso per  $f$  sia isolato e il differenziale  $df_x$  ammetta un unico punto fisso (il vettore nullo).

Introduciamo ora due varietà entrambe diffeomorfe a  $X$ :

La *diagonale* di  $X \times X$  è

$$\Delta(X) = \{(x, x) : x \in X\}. \quad (2.1)$$

Un diffeomorfismo tra  $\Delta(X)$  e  $X$  è dato da  $(x, x) \mapsto x$ .

Il *grafico* di una applicazione liscia  $f : X \rightarrow Y$  è il sottoinsieme di  $X \times Y$  definito da

$$\text{graf}(f) = \{(x, f(x)) : x \in X\} \quad (2.2)$$

Un diffeomorfismo tra  $\text{graf}(f)$  e  $X$  è dato da  $(x, f(x)) \mapsto x$ .

Sia  $f : X \rightarrow X$  è immediato osservare che l'insieme dei punti fissi per questa applicazione è proprio  $\text{graf}(f) \cap \Delta(X)$ .



**Proposizione 20.** *Sia  $f : X \rightarrow X$  liscia con  $X$  compatto allora  $f$  è Lefschetz se e solo se  $\text{graf}(f) \bar{\cap} \Delta(X)$ .*

*Dimostrazione.* Sappiamo che  $\text{graf}(f) \bar{\cap} \Delta(X)$  se

$$\text{graf}(d(f_x)) + \Delta(T_x(X)) = T_x(X) \times T_x(X)$$

per ogni  $(x, x) \in \text{graf}(f) \cap \Delta(X)$ . Ora  $\text{graf}(d(f_x))$  e  $\Delta(T_x(X))$  sono spazi vettoriali di dimensione complementare in  $T_x(X) \times T_x(X)$ , quindi generano quest'ultimo se e solo se  $\text{graf}(d(f_x)) \cap \Delta(T_x(X)) = \{0\}$ . L'affermazione precedente vuol dire che per ogni  $x$  fisso,  $+1$  non è autovalore per  $df_x$ . Cioè ogni punto fisso è Lefschetz.  $\square$

**Corollario 21.** *Se  $X$  è compatto ed  $f$  è Lefschetz, allora  $f$  ammette solo un numero finito di punti fissi.*

*Dimostrazione.* Grazie alla proposizione precedente sappiamo che  $\text{graf}(f) \bar{\cap} \Delta(X)$ , inoltre dal Teorema 8 ricaviamo che  $\text{graf}(f) \cap \Delta(X)$  è una varietà di dimensione zero. L'intersezione di spazi compatti è ancora compatta e l'insieme dei punti fissi per  $f$  è  $\pi(\text{graf}(f) \cap \Delta(X))$ , dove  $\pi : X \times X$  è la proiezione sul primo fattore. Quindi l'insieme dei punti fissi per  $f$  è una varietà compatta di dimensione zero, e quindi costituita da un numero finito di punti (vedi Teorema 4).  $\square$

Poichè le applicazioni Lefschetz sono definite da una condizione di trasversalità (vedi Proposizione 20) hanno con questa delle proprietà comuni come la stabilità e l'essere generiche (per una dimostrazione rigorosa vedi [1]).

**Proposizione 22.** *La classe delle mappe Lefschetz  $f : X \rightarrow X$ , con  $X$  compatto, è stabile.*

**Proposizione 23.** *Ogni applicazione  $f : X \rightarrow X$  è omotopa ad una mappa Lefschetz.*

## 2.2 Numero di Lefschetz

In questo paragrafo  $X$  denoterà una varietà orientata e compatta. Sia  $f : X \rightarrow X$  il numero di Lefschetz (globale) è:

$$L(f) = I(\Delta(X), \text{graph}(f))$$

dove  $I$  è il numero di intersezione introdotto nella sezione 1.6.

**Teorema 24** (Teorema del punto fisso di Lefschetz). *Sia  $f : X \rightarrow X$  una mappa liscia se  $L(f) \neq 0$ , allora  $f$  ammette punti fissi.*

*Dimostrazione.* Se  $f$  non ha punti fissi, allora  $\Delta(X) \cap \text{graf}(f) = \emptyset$ , quindi sono trasversali. Segue che:

$$L(f) = I(\Delta(X), \text{graf}(f)) = 0.$$

□

Essendo definito dal numero di intersezione, che è un invariante omotopico (vedi Proposizione 15), chiaramente

**Proposizione 25.**  *$L(f)$  è un invariante omotopico.*

Se  $x$  è un punto fisso di Lefschetz, denoteremo il numero di orientazione  $\pm 1$  di  $(x, x)$  in  $\Delta(X) \cap \text{graf}(f)$  con  $L_x(f)$ , che chiameremo *numero Lefschetz locale*.

Se  $f : X \rightarrow X$  è una applicazione di Lefschetz allora per la Definizione 4 e la definizione di  $L(f)$  si avrà

$$L(f) = \sum_{f(x)=x} L_x(f)$$

**Proposizione 26.** *Un punto fisso  $x$  è Lefschetz per  $f : X \rightarrow X$  se e solo se  $df_x - I$ , con  $I$  identità su  $T_x(X)$ , è un isomorfismo.*

*Dimostrazione.* Se  $+1$  non è autovalore per  $df_x$  allora  $\forall v \in T_x(X)$  diverso dal vettore nullo si ha  $df_x(v) \neq v$  che equivale a  $(df_x - I)(v) \neq 0$ , quest'ultima è la condizione per  $\text{Ker}(df_x - I) = 0$ . Per il teorema della dimensione  $df_x - I$  è un isomorfismo.

Posto  $df_x - I$  isomorfismo allora il suo  $\text{Ker}(df_x - I) = 0$  quindi  $\forall v \in T_x(X)$  diverso dal vettore nullo si ha  $(df_x - I)(v) \neq 0$  che equivale a  $df_x(v) \neq v$ , allora  $+1$  non è autovalore per  $df_x$ . □

La proposizione precedente ci offre un semplice criterio per stabilire se un punto fisso  $x$  è Lefschetz: basta verificare che  $\det(df_x - I) \neq 0$ . Lo stesso determinante ci offre anche un'altra informazione utile.

**Proposizione 27.** *Il numero Lefschetz locale  $L_x(f)$  in un punto fisso di Lefschetz è  $+1$  se l'isomorfismo  $df_x - I$  conserva l'orientazione su  $T_x(X)$ ,  $-1$  viceversa. Allora il segno di  $L_x(f)$  equivale al segno del determinante di  $df_x - I$ .*

*Dimostrazione.* Indichiamo con  $A = df_x$  e prendiamo  $\beta = \{v_1, \dots, v_k\}$  come base ordinata per  $T_x(X)$ . Allora

$$\{(v_1, v_1), \dots, (v_k, v_k)\} \text{ e } \{(v_1, Av_1), \dots, (v_k, Av_k)\}$$

sono basi ordinate di  $T_{(x,x)}(\Delta(X))$  e  $T_{(x,x)}(\text{graf}(f))$  rispettivamente. Non abbiamo fatto ipotesi circa l'orientazione di  $\beta$  perchè grazie all'osservazione 4 sappiamo che  $\{\beta, \beta\}$  è una base ordinata e orientata positivamente per  $T_x(X) \times T_x(X)$ . Per definizione  $L_x(f)$  è il segno della base

$$\{(v_1, v_1), \dots, (v_k, v_k), (v_1, Av_1), \dots, (v_k, Av_k)\} \quad (2.3)$$

di  $T_x(X) \times T_x(X)$ . Adesso grazie alla Proposizione 13 sappiamo che sottrarre da un vettore di una base ordinata una combinazione lineare degli altri non cambia l'orientazione. Allora sottraiamo  $(v_i, v_i)$  da  $(v_i, Av_i)$

$$\{(v_1, v_1), \dots, (v_k, v_k), (0, (A - I)v_1), \dots, (0, (A - I)v_k)\}.$$

Poichè  $A - I$  è un isomorfismo,  $(A - I)v_1, \dots, (A - I)v_k$  sono linearmente indipendenti quindi posso esprimere  $(0, v_i)$  come combinazione lineare dei vettori  $(0, Av_j)$ . Per quanto osservato appena sopra la seguente base conserva l'orientazione della base (2.3)

$$\{(v_1, 0), \dots, (v_k, 0), (0, (A - I)v_1), \dots, (0, (A - I)v_k)\}$$

Quest'ultima può essere scritta

$$\{\beta \times 0, 0 \times (A - I)\beta\}$$

e per la definizione di orientazione del prodotto (vedi sezione 1.5) il segno della base (2.3) è uguale a

$$\text{segn}\beta \cdot \text{segn}(A - I)\beta = \text{segn}(\det(A - I)).$$

□

Nel caso  $X$  abbia dimensione 2 possiamo studiare il comportamento locale di una mappa Lefschetz nei suoi punti fissi. Sia  $f : \mathbb{R}^2 \rightarrow \mathbb{R}^2$  con  $f(0) = 0$ , poniamo  $A = df_0$  quindi

$$f(x) = Ax + \epsilon(x)$$

con  $\epsilon(x) \rightarrow 0$  rapidamente per  $x \rightarrow 0$ . Supponiamo che  $A$  abbia due autovalori reali distinti entrambi positivi (ovviamente  $\neq +1$ ), in un opportuno sistema di riferimento possiamo scrivere

$$A = \begin{pmatrix} \alpha_1 & 0 \\ 0 & \alpha_2 \end{pmatrix}$$

Allora per la Proposizione 27 si ha  $L_0(f) = \text{segn}(\alpha_1 - 1) \cdot (\alpha_2 - 1)$ , si presentano quindi i seguenti tre casi:

1. Se  $\alpha_1 > 1$  e  $\alpha_2 > 1$  allora  $L_0(f) = +1$ , localmente  $f$  si espande dall'origine che sarà detta essere una *sorgente*. In questo caso infatti  $\|x\| < \|Ax\| = \alpha_1\alpha_2\|x\|$  per ogni  $x$ .

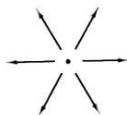


Figura 2.1: Sorgente

2. Se  $\alpha_1 < 1$  e  $\alpha_2 < 1$  ancora  $L_0(f) = +1$ , localmente  $f$  si contrae verso l'origine che sarà detta essere un *pozzo*. In quest'altro caso invece  $\|x\| > \|Ax\| = \alpha_1\alpha_2\|x\|$  per ogni  $x$ .

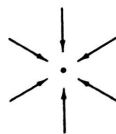


Figura 2.2: Pozzo

3. Infine se  $\alpha_1 < 1 < \alpha_2$  si ha  $L_0(f) = -1$ , in quest'ultimo si ha un *punto di sella* nell'origine.

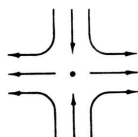


Figura 2.3: Sella

**Osservazione 6.** *La somma dei numeri Lefschetz locali (è il numero Lefschetz globale) non è un invariante omotopico senza l'ipotesi di compattezza. Consideriamo  $f : \mathbb{R}^k \rightarrow \mathbb{R}^k$  Lefschetz con solo un numero finito di punti, e sia  $x_0$  uno di questi allora*

$$F : \mathbb{R}^k \times I \rightarrow \mathbb{R}^k, (x, t) \mapsto tf(x) + (1 - t)x_0$$

è una omotopia tra  $f$  e la funzione costante  $c_{x_0} : \mathbb{R}^k \rightarrow \mathbb{R}^k$ ,  $x \mapsto x_0$ , ovviamente  $x_0$  è l'unico punto fisso per  $c_{x_0}$ . In generale  $L(c_{x_0}) = L_{x_0}(c_{x_0}) \neq L(f)$ . Ad esempio  $f : \mathbb{R} \rightarrow \mathbb{R}$ ,  $x \mapsto x^2$  ha solo 2 punti fissi 0 e 1 per questi  $df_0 - id_{\mathbb{R}} = -1$  e  $df_1 - id_{\mathbb{R}} = 1$  rispettivamente. Entrambi i punti fissi sono Lefschetz quindi posso calcolare il numero Lefschetz globale:

$$L(f) = L_0(f) + L_1(f) = 0.$$

Possiamo inoltre costruire un omotopia tra  $f$  e la funzione nulla,  $F : \mathbb{R} \times I \rightarrow \mathbb{R}$ ,  $x \mapsto tx^2$ . Detta  $c_0$  la costante questa ha un solo punto fisso Lefschetz. Si ha quindi:

$$L(c_0) = L_0(c_0) = -1 \neq 0 = L(f).$$

## 2.3 Splitting proposition

Abbiamo già osservato che un punto fisso di  $f$  è Lefschetz se è isolato e il differenziale  $df_x$  ammette un unico punto fisso. Possiamo chiederci se un punto fisso isolato  $x$  per  $f$  possa essere “trasformato” in un punto Lefschetz operando in maniera liscia su  $f$ . Vedremo che in un intorno di  $x$  esiste un'omotopia di  $f$  che “spezza”  $x$  in punti fissi di Lefschetz.

**Proposizione 28** (Splitting Proposition). *Sia  $U$  un intorno del punto fisso  $x$  che non contenga altri punti fissi per  $f$ . Allora esiste una omotopia  $f_t$  di  $f$  tale che  $f_1$  ha solo punti fissi Lefschetz in  $U$ , e ogni  $f_t$  coincide con  $f$  fuori da un compatto contenuto in  $U$ .*

*Dimostrazione.* Iniziamo col supporre che  $U$  sia un aperto di  $\mathbb{R}^k$  e che  $f : U \rightarrow \mathbb{R}^k$  lasci fisso solo lo 0. Sia  $\rho : \mathbb{R}^k \rightarrow [0, 1]$  una funzione liscia che vale 1 in un intorno  $V$  dell'origine e 0 fuori da un compatto  $K \subset U$ . Vogliamo mostrare che esistono dei punti  $a \in \mathbb{R}^k$ , con  $\|a\|$  arbitrariamente piccolo, tale che:

$$f_t(x) = f(x) - t\rho(x)a$$

soddisfi le nostre richieste. Notiamo che se  $\|a\|$  è sufficientemente piccolo, allora  $f_t$  non ha punti fissi al di fuori di  $V$ . Poiché  $f$  non ha punti fissi nel compatto  $K - V$ ,

$$\|f(x) - x\| > c > 0$$

Così se  $\|a\| < c/2$ , abbiamo

$$\|f_t(x) - x\| \geq \|f(x) - x\| - t\rho(x)\|a\| > \frac{c}{2}$$

in  $K - V$ . Naturalmente fuori  $K$  ( $\rho(x) = 0$ ),

$$f_t(x) = f(x) \neq x.$$

Ora grazie al teorema di Sard possiamo trovare un punto  $a$ , la cui distanza da 0 sia arbitrariamente piccola, che sia un valore regolare per  $x \mapsto f(x) - x$ , e con  $\|a\| < c/2$ . Se  $x$  è un punto fisso per  $f_1$ , allora  $x \in V$  e  $f_1(x) = f(x) - a$  in un intorno di  $x$ . Di conseguenza  $d(f_1)_x = df_x$ ; quindi  $x$  è un punto fisso di Lefschetz per  $f_1$  se e solo se  $df_x - I$  è un isomorfismo. Ma da  $f_1(x) = x$ ,

$$f(x) - x = a.$$

La condizione di regolarità per  $a$  implica che:

$$d(f - I)_x = df_x - I$$

sia un isomorfismo.

Finora abbiamo provato il teorema per spazi euclidei, possiamo estendere questo risultato alle varietà. Prendiamo una applicazione tra varietà  $f : X \rightarrow X$  che abbia  $f(x) = x$  come unico punto fisso in un intorno  $U$ , sia  $\phi$  una parametrizzazione locale con  $\phi(0) = x$ , possiamo applicare il caso euclideo appena provato a  $g = \phi^{-1} \circ f \circ \phi$ . Infatti 0 è l'unico punto fisso per  $g$  nell'intorno  $\phi^{-1}(U)$ , quindi esiste una omotopia  $g_t$  di  $g$  tale che  $g_1$  abbia solo punti fissi di Lefschetz in  $\phi^{-1}(U)$  e ogni  $g_t$  coincida con  $g$  fuori da un compatto di  $\phi^{-1}(U)$ . Se proviamo che  $z$  è un punto fisso di Lefschetz per  $g_t$  se e solo se  $\phi(z)$  lo è per  $f_t = \phi \circ g_t \circ \phi^{-1}$  abbiamo finito.

Adesso è semplice osservare che  $d(f_t)_{\phi(z)} - I$  è un isomorfismo se e solo se  $d(g_t)_z - I$  lo è, infatti

$$d(g_t)_z - I = (d\phi_{f(\phi(z))}^{-1} \circ d(f_t)_{\phi(z)} \circ d\phi_z) - I = d\phi_{f(\phi(z))}^{-1} \circ (d(f_t)_{\phi(z)} - I) \circ d\phi_z.$$

e sappiamo che  $d\phi$  è un isomorfismo. □

## 2.4 Molteplicità in $x$ per $f$

Sia  $x$  un punto fisso isolato per  $f : \mathbb{R}^k \rightarrow \mathbb{R}^k$ . Se  $D$  è un disco chiuso centrato in  $x$  sufficientemente piccolo da non contenere altri punti fissi per  $f$ . La *molteplicità* di  $f$  in  $x$ , denotata con  $\text{mult}_x(f)$ , è definita come il grado di

$$F : \partial D \rightarrow \mathbb{S}^{k-1}, \quad z \mapsto \frac{f(z) - z}{\|f(z) - z\|},$$

cioè  $\text{mult}_x(f) = \text{deg}(F)$ .

Questa definizione è indipendente dalla scelta di  $D$ , infatti sia  $D'$  un'altro disco chiuso centrato in  $x$  ma con raggio minore,  $F$  è ancora definita nell'anello  $\overline{D - D'}$ . Questa è una varietà compatta con bordo uguale all'unione di  $\partial D$  con l'orientazione standard e  $\partial D'$  con quella opposta. Per la Proposizione 18, il grado di  $F$  è zero nel bordo di  $\overline{D - D'}$ , e quindi il grado in  $D$  deve essere uguale a quello in  $D'$ . Inoltre la molteplicità di  $f$  in  $x$  generalizza il concetto di numero di Lefschetz locale come espresso dalle due proposizioni seguenti.

**Proposizione 29.** *Sia  $X$  una varietà compatta e  $f : X \rightarrow X$  un'applicazione e sia  $x$  un punto fisso di Lefschetz, per ogni aperto  $U \simeq \mathbb{R}^k$  contenente  $x$  e nessun altro punto fisso per  $f$  vale l'uguaglianza  $L_x(f) = \text{mult}_x(f)$ .*

*Dimostrazione.* Non è restrittivo assumere  $x = 0$ . Poichè  $f(0) = 0$ , possiamo scrivere  $f(z) = Az + \epsilon(z)$ , dove  $A = df_0$  e  $\lim_{z \rightarrow 0} \epsilon(z)/\|z\| = 0$ . Essendo  $A - I$  un isomorfismo (0 è Lefschetz), l'immagine del disco unitario attraverso  $A - I$  conterrà un disco chiuso di raggio  $c > 0$ . La linearità implica  $\|(A - I)z\| > c\|z\|$  per ogni  $z \in \mathbb{R}^k$ . Fissiamo il raggio del disco  $D$  in modo che

$$\frac{\epsilon(z)}{\|z\|} < \frac{c}{2} \text{ per } z \in D.$$

Definiamo l'omotopia  $f_t(z) = Az + t\epsilon(z)$ . Poichè per  $t \in [0, 1]$

$$\|f_t(z) - z\| \geq \|(A - I)z\| - t\|\epsilon(z)\| > \frac{1}{2}c\|z\|$$

allora la seguente applicazione è un'omotopia  $\partial D \times I \rightarrow \mathbb{S}^{k-1}$

$$F_t(z) = \frac{f_t(z) - z}{\|f_t(z) - z\|}.$$

Adesso  $\text{deg}(F_1)$  è proprio la definizione di  $\text{mult}_0(f)$ . Poichè  $\text{deg}(F_1) = \text{deg}(F_0)$ , non rimane che mostrare che il grado di  $F_0$  che

$$z \mapsto \frac{(A - I)z}{\|(A - I)z\|}$$

è  $\pm 1$ , a seconda del fatto che  $A - I$  conservi o rovesci l'orientazione.

Applicando il lemma seguente a  $E = A - I$ , otteniamo un'omotopia di  $F_0$  con  $z \mapsto E_1 z / \|E_1 z\|$ . In entrambi i casi che si possono presentare  $E_1$  conserva la norma, così  $\|E_1 z\| = \|z\| = r$ , il raggio di  $D$ . Allora se  $A - I$  conserva l'orientazione,  $F_0$  è omotopo al diffeomorfismo standard che

conserva l'orientazione  $z \mapsto z/r$  da  $\partial D \rightarrow \mathbb{S}^{k-1}$ , così  $\deg(F_0) = 1$ . Viceversa se  $A-I$  scambia l'orientazione, allora  $F_0$  è omotopo allo stesso diffeomorfismo di prima composto con la riflessione, che scambia l'orientazione, in  $\mathbb{S}^{k-1}$ , così  $\deg(F_0) = -1$ .  $\square$

**Lemma 30.** *Sia  $E$  un isomorfismo di  $\mathbb{R}^k$  che conserva l'orientazione. Allora esiste una omotopia  $E_t$  tra isomorfismi, tale che  $E_0 = E$  e  $E_1$  è l'identità. Se  $E$  scambia l'orientazione, allora nell'omotopia data  $E_1$  è la riflessione:*

$$E_1(x_1, x_2, \dots, x_k) = (-x_1, x_2, \dots, x_k).$$

*Dimostrazione.* Cominciamo col far vedere che basta studiare il caso in cui  $E$  conserva l'orientazione. Supponiamo che il lemma sia vero per un isomorfismo che conserva l'orientazione e che  $E$  invece la scambi.  $R : \mathbb{R}^k \rightarrow \mathbb{R}^k$  è la riflessione  $(x_1, x_2, \dots, x_k) \mapsto (-x_1, x_2, \dots, x_k)$  è immediato notare che  $R^2 = id_{\mathbb{R}^k}$ . Poichè  $RE$  conserva l'orientazione allora esiste una omotopia  $F : \mathbb{R}^k \times I \rightarrow \mathbb{R}^k$  per cui  $F(x, 0) = RE$  e  $F(x, 1) = id_{\mathbb{R}^k}$ . Ma  $RF : \mathbb{R}^k \times I \rightarrow \mathbb{R}^k$  è ancora un'omotopia, con  $RF(x, 0) = R^2E = E$  e  $F(x, 1) = R$ .

Se  $k = 1$  un isomorfismo che conserva l'orientazione è quello che  $x \mapsto ax$  con  $a > 0$  e  $E_t(x) = (1-t)ax + tx$  è una omotopia per cui  $E_0 = E$  e  $E_1 = id_{\mathbb{R}}$ . Se  $E$  possiede un autovalore reale o complesso allora porta uno spazio  $V \subset \mathbb{R}^k$  di dimensione uno o due in se stesso. Chiamiamo  $\beta'$  una base per  $V$  questa può essere completata, con  $\{w_1, \dots, w_h\}$ , a base di  $\mathbb{R}^k$ .  $\{w_1, \dots, w_h\}$  è la base del sottospazio  $W$  di  $\mathbb{R}^k$  disgiunto da  $V$  quindi  $\mathbb{R}^k = V \oplus W$ . Poichè  $E$  manda in se stessi i vettori di  $V$  se  $v_i \in V$  allora  $E(v_i)$  è combinazione lineare dei soli elementi di  $\beta'$ , cioè i coefficienti di  $\{w_1, \dots, w_h\}$  per  $E(v_i)$  sono tutti nulli. Quindi rispetto alla base  $\beta$  possiamo scrivere

$$E = \left( \begin{array}{c|c} A & B \\ \hline 0 & C \end{array} \right)$$

Ora  $E$  è un isomorfismo per ipotesi, calcolando il  $\det E$  otteniamo  $\det E = \det A \cdot \det C$  da cui ricaviamo che  $E$  è un isomorfismo su  $\mathbb{R}^k$  se e solo se lo sono  $A$  e  $C$  su  $V$  e  $W$  rispettivamente. Nel calcolo del determinante gli elementi di  $B$  non influiscono quindi

$$E_t = \left( \begin{array}{c|c} A & tB \\ \hline 0 & C \end{array} \right)$$

è ancora un isomorfismo per ogni  $t \in \mathbb{R}$ , in particolare  $E_t : \mathbb{R}^k \times I \rightarrow \mathbb{R}^k$  è un omotopia costituita da isomorfismi.

Sia  $E : \mathbb{R}^{2h} \rightarrow \mathbb{R}^{2h}$  un isomorfismo privo di autovalori reali. Possiamo chiederci se  $E_t = tI + (1-t)E$  con  $t \in [0, 1]$  è un isomorfismo. Per  $t = 0$



e  $t = 1$  lo è, infatti  $E_0 = E$  e  $E_1 = I$  sono isomorfismi. Con  $t \in (0, 1)$  chiedere che  $E_t$  sia un isomorfismo equivale a chiedere che  $\ker(E_t) = 0$  cioè che  $E_t(v) = 0 \Leftrightarrow v = 0$ .

$$E_t(v) = tv + (1 - t)E(v) = 0 \Rightarrow E(v) = \frac{t}{t - 1}v$$

Se esistesse un  $v \neq 0$  che soddisfa l'uguaglianza precedente allora  $\frac{t}{t - 1} \in \mathbb{R}$  sarebbe un autovalore per  $E$ . Poichè per ipotesi  $E$  non ha autovalori reali  $\ker(E_t) = 0$ .

Siano ora  $\lambda_1, \dots, \lambda_l$  tutti gli autovalori reali per l'isomorfismo  $E$ , allora rispetto ad un particolare cambiamento di base

$$E = \left( \begin{array}{c|c} A & B \\ \hline 0 & C \end{array} \right)$$

con

$$A = \begin{pmatrix} \lambda_1 & \cdots & 0 \\ \vdots & \ddots & \vdots \\ 0 & \cdots & \lambda_l \end{pmatrix}$$

$B$  e  $C$  sono matrici di dimensione opportuna e  $C$  è un isomorfismo. Poniamo

$$A_t = \begin{pmatrix} t\lambda_1 + (1 - t) & \cdots & 0 \\ \vdots & \ddots & \vdots \\ 0 & \cdots & t\lambda_l + (1 - t) \end{pmatrix}$$

la seguente matrice è un omotopia di isomorfismi tra  $E$  e  $I$ :

$$E_t = \left( \begin{array}{c|c} A_t & tB \\ \hline 0 & tC + (1 - t) \end{array} \right)$$

□

Nel caso in cui un punto fisso isolato non sia Lefschetz, si ha

**Proposizione 31.** *Supponiamo che  $x$  sia un punto fisso isolato per l'applicazione  $f$  definita in  $\mathbb{R}^k$ , sia  $D$  un disco chiuso contenente  $x$  ma nessun altro punto fisso per  $f$ . Presa una applicazione  $f_1$  che coincida con  $f$  fuori da un compatto nell'interno di  $D$  e che abbia solo punti Lefschetz in  $D$ . Allora*

$$\text{mult}_x(f) = \sum_{f_1(z)=z} L_z(f_1), \quad z \in D \quad (2.4)$$

*Dimostrazione.*  $\text{mult}_x(f)$  è il grado su  $\partial D$  della mappa  $F$  che

$$z \mapsto \frac{f(z) - z}{\|f(z) - z\|}.$$

Ma in  $\partial D$   $F$  coincide con  $F_1$

$$z \mapsto \frac{f_1(z) - z}{\|f_1(z) - z\|}.$$

Supponiamo ora che  $z_1, \dots, z_n$  siano punti fissi per  $f_1$ , e fissiamo dei dischi  $D_i$  intorno a  $z_i$  che siano sufficientemente piccoli da essere disgiunti tra loro e da  $\partial D$ . Allora  $F_1$  può essere estesa a

$$D' = D - \bigcup_{i=1}^n \text{Int}(D_i),$$

così il suo grado come mappa  $\partial D' \rightarrow \mathbb{S}^{k-1}$  è zero. Ma da

$$\partial D' = \partial D - \bigcup_{i=1}^n \partial D_i,$$

il suo grado equivale a quello in  $\partial D$ , meno la somma dei gradi in  $\partial D_i$ . Quindi il grado di  $F_1$  in  $\partial D_i$  è  $\text{mult}_{z_i}(f_1) = L_{z_i}(f_1)$ .  $\square$

Per la Proposizione 28 possiamo spezzare un punto fisso isolato per  $f$  in punti fissi di Lefschetz per l'applicazione  $f_1$  omotopa ad  $f$ . In generale la mappa  $f_1$  non è unica, la proposizione precedente afferma che comunque si prenda  $f_1$  la somma  $\sum_{f_1(z)=z} L_z(f_1)$  è costante.

Quindi se  $x$  è un punto fisso isolato per  $f : \mathbb{R}^k \rightarrow \mathbb{R}^k$  la (2.4) è una nuova definizione di molteplicità in  $x$  per  $f$ . Questa nuova definizione, al contrario di quella precedente, permette di definire la molteplicità anche per  $f : X \rightarrow X$  con  $X$  varietà.

Supponiamo che  $f : X \rightarrow X$  abbia un punto fisso  $x$  isolato, scegliamo allora una parametrizzazione  $\phi$  in un intorno di  $x$ , tale che  $\phi(0) = x$ . Il caso euclideo può essere applicato alla mappa  $g = \phi^{-1} \circ f \circ \phi$ , che ha in 0 un punto fisso isolato.

Se  $x$  è Lefschetz, allora sappiamo che  $\text{mult}_x(f) = L_x(f)$  e che il suo valore è  $\pm 1$  in accordo col segno del determinante di  $df_x - I$ . Ma

$$dg_0 - I = d\phi_0^{-1} \circ (df_x - I) \circ d\phi_0$$

quindi  $\text{mult}_x(f) = \text{mult}_0(g)$ .

Se invece  $x$  è un punto fisso arbitrario, prese due parametrizzazioni  $\phi$  e  $\phi'$ , troviamo una  $f_1 : X \rightarrow X$  che equivale a  $f$  fuori da un intorno  $U$ , contenuto nelle immagini di entrambe le parametrizzazioni, e che abbia solo punti fissi di Lefschetz in  $U$ . Per la proposizione appena dimostrata  $\text{mult}_0(g)$  è uguale alla somma dei numeri di Lefschetz locali di  $\phi^{-1} \circ f_1 \circ \phi$  in  $\phi^{-1}(U)$ . Quest'ultima è uguale alla somma dei numeri di Lefschetz locali di  $f_1$  in  $U$ , quindi

$$\text{mult}_0(g) = \sum_{f_1(z)=z} L_z(f_1).$$

Poichè si ottiene la stessa formula utilizzando  $\phi'$ ,  $\text{mult}_x(f)$  è ben definita. La proposizione seguente mostra che  $L(f)$  può essere definito per mezzo delle molteplicità locali.

**Proposizione 32.** *Sia  $f : X \rightarrow X$  una applicazione liscia,  $X$  compatto, con solo un numero finito di punti fissi. Allora il numero di Lefschetz globale (che è un invariante omotopico) equivale alla somma dei numeri di molteplicità in  $x$  per  $f$ :*

$$L(f) = \sum_{f(x)=x} \text{mult}_x(f).$$

*Dimostrazione.* Possiamo modificare  $f$  localmente intorno ad ogni punto fisso in modo da ottenere una mappa di Lefschetz  $f_1 : X \rightarrow X$  omotopa ad  $f$ . Chiaramente  $L(f) = L(f_1)$ , dalla definizione data di  $\text{mult}_x(f)$  la somma  $\sum_{f(x)=x} \text{mult}_x(f)$  equivale alla somma  $\sum_{f_1(z)=z} L_z(f_1)$  che è proprio  $L(f_1)$ .  $\square$

## Capitolo 3

# Caratteristica di Eulero-Poincaré

Sia  $X$  è una varietà compatta e orientabile, la caratteristica di Eulero-Poincaré  $\chi(X)$  può essere definita come il numero di (auto)intersezione della diagonale  $\Delta(X)$  in  $X \times X$ :

$$\chi(X) = I(\Delta(X), \Delta(X))$$

Grazie alle osservazioni successive al Teorema 19, per la definizione data di caratteristica di Eulero-Poincaré risulta provato che

**Proposizione 33.** *La caratteristica di Eulero-Poincaré di una varietà di dimensione dispari, compatta e orientabile è zero.*

Dalla definizione di numero di Lefschetz globale,

$$L(f) = I(\Delta(X), \text{graf}(f))$$

e dalla definizione della caratteristica di Eulero-Poincaré utilizzando il numero di intersezione

$$\chi(X) = I(\Delta(X), \Delta(X))$$

è immediato notare che

$$L(id) = I(\Delta(X), \Delta(X)) = \chi(X).$$

Poichè il numero di Lefschetz globale è un invariante omotopico (vedi Proposizione 25) allora vale la seguente

**Proposizione 34.** *Se  $f$  è omotopa all'identità, allora  $L(f) = \chi(X)$ . In particolare se esiste una  $f : X \rightarrow X$  omotopa all'identità e senza punti fissi, allora  $\chi(X) = 0$ .*

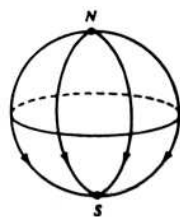
**Proposizione 35.** *La caratteristica di Eulero-Poincaré per la sfera vale:*

$$\chi(\mathbb{S}^k) = \begin{cases} 2 & \text{se } k \text{ è pari} \\ 0 & \text{se } k \text{ è dispari} \end{cases}$$

*Dimostrazione.* Cerchiamo una mappa liscia  $f : \mathbb{S}^k \rightarrow \mathbb{S}^k$  che sposta tutti i punti in direzione  $S$  ad eccezione dei poli. Se  $\pi : \mathbb{R}^{k+1} - \{0\} \rightarrow \mathbb{S}^k$  è la proiezione  $x \mapsto \frac{x}{\|x\|}$  quindi definiamo:

$$f(x) = \pi \left( x + \left( 0, \dots, 0, -\frac{1}{2} \right) \right)$$

poniamo  $u = (0, \dots, 0, -\frac{1}{2}) \in \mathbb{R}^{k+1}$ , che è parallelo a  $N$  e  $S$ . La nostra  $f$  che manda  $x \mapsto \frac{x+u}{\|x+u\|}$  è ben definita e liscia (composizione di applicazioni lisce) ed i suoi unici punti fissi sono  $N$  e  $S$ . Verifichiamo ora che questi siano



Lefschetz. Per la Proposizione 26  $N$  e  $S$  sono Lefschetz se e solo se  $df_x - I$  è un isomorfismo, inoltre per la Proposizione 27 sappiamo che in  $x$  si ha  $L_x(f) = \text{segn}(\det(df_x - I))$ .

Sia  $\gamma : I \rightarrow \mathbb{S}^k$  una curva liscia con  $\gamma(0) = x$  e  $\gamma'(0) = v \in T_x(\mathbb{S}^k)$  ovviamente  $\langle x, v \rangle = 0$ . Ricordando che  $df_x(v) = \frac{d}{dt} f(\gamma(t))|_{t=0}$  si ha:

$$df_N(v) = \frac{d}{dt} f(\gamma(t)) \Big|_{t=0} = \frac{v}{\|N + u\|}$$

$$df_S(v) = \frac{d}{dt} f(\gamma(t)) \Big|_{t=0} = \frac{v}{\|S + u\|}$$

Abbiamo  $\|N + u\| = \frac{1}{2}$  e  $\|S + u\| = \frac{3}{2}$ , sia  $I$  la matrice identica su  $\mathbb{R}^k$  possiamo scrivere

$$df_N = \frac{1}{\|N + u\|} I = 2I$$

$$df_S = \frac{1}{\|S + u\|} I = \frac{2}{3}I$$

$df_N - I = I$  è chiaramente un isomorfismo inoltre

$$L_N(f) = \text{segn}(\det(df_N - I)) = +1$$

Anche  $df_S - I = -\frac{1}{3}I$  è un isomorfismo però

$$L_S(f) = \text{segn}(\det(df_S - I)) = \begin{cases} +1 & \text{se } k \text{ è pari} \\ -1 & \text{se } k \text{ è dispari} \end{cases}$$

Infine il numero Lefschetz globale è:

$$L(f) = L_N(f) + L_S(f) = \begin{cases} 2 & \text{se } k \text{ è pari} \\ 0 & \text{se } k \text{ è dispari} \end{cases}$$

L'applicazione seguente è un omotopia tra  $f$  e l'identità:

$$f_t(x) = \pi \left( x + \left( 0, \dots, 0, -\frac{t}{2} \right) \right)$$

quindi grazie alla Proposizione 34 abbiamo  $\chi(\mathbb{S}^k) = L(f)$ . □

**Osservazione 7.** Avremo potuto eseguire i calcoli solo per il caso in cui  $k$  è pari, infatti grazie alla Proposizione 33 sappiamo che ogni varietà di dimensione dispari, compatta e orientabile ha caratteristica di Eulero zero.

**Proposizione 36.** Nel caso in cui  $k$  sia pari ogni applicazione  $f : \mathbb{S}^k \rightarrow \mathbb{S}^k$  omotopa all'identità deve avere un punto fisso. In particolare, l'applicazione antipodale non è omotopa all'identità.

*Dimostrazione.* Per il Teorema 24 se  $L(f) \neq 0$  allora  $f$  ammette punti fissi, ora grazie all'esempio precedente sappiamo che

$$L(f) = L(id_{\mathbb{S}^k}) = \chi(\mathbb{S}^k) = 2$$

quindi  $f$  deve avere almeno un punto fisso (per essere precisi almeno due). Ricordiamo che la mappa antipodale  $\mathbb{S}^k \rightarrow \mathbb{S}^k$  è la mappa

$$(x_1, \dots, x_{k+1}) \mapsto (-x_1, \dots, -x_{k+1}).$$

Sappiamo che il grado è un invariante omotopico (vedi Corollario 17), quindi se due mappe hanno grado distinto non possono essere omotope. Nella Sezione 1.6 abbiamo visto come calcolare il grado di una applicazione. L'identità  $id_{\mathbb{S}^k}$  è un diffeomorfismo quindi ogni punto del codominio è un valore regolare, il suo differenziale è proprio  $id_{\mathbb{R}^k}$  che è un isomorfismo che conserva l'orientazione, quindi  $\deg(id_{\mathbb{S}^k}) = +1$ . Anche la mappa antipodale

è un diffeomorfismo ed ogni suo punto del codominio è un valore regolare, il suo differenziale è la composizione  $r_1 \circ \dots \circ r_{k+1}(x)$ , di  $k + 1$  riflessioni  $r_i : \mathbb{R}^{k+1} \rightarrow \mathbb{R}^{k+1}$  ove

$$r_i(x_1, \dots, x_i, \dots, x_{k+1}) = (x_1, \dots, -x_i, \dots, x_{k+1}).$$

Per la Proposizione 13 ogni riflessione scambia l'orientazione quindi il grado dell'antipodale sarà  $(-1)^{k+1}$ , per ipotesi  $k$  è pari quindi il grado è  $-1$ .  $\square$

Da  $\chi(\mathbb{S}^k) = 2$  per  $k$  pari possiamo studiare il comportamento di un campo di vettori su  $\mathbb{S}^k$ , un *campo di vettori liscio* su  $X$  è una mappa liscia  $v : X \rightarrow \mathbb{R}^N$  tale che  $v(x) \in T_x(X)$  per ogni  $x \in X$ . Diremo che una varietà  $X$  è *pettinabile* se esiste un campo di vettori liscio non nullo. Poiché

**Teorema 37** (Teorema di Hopf). *Una varietà  $X$  compatta, connessa e orientabile possiede un campo di vettori non nullo se e solo se la sua caratteristica di Eulero-Poincaré è zero.*

allora

**Osservazione 8.** *La sfera  $\mathbb{S}^k$  con  $k$  pari non è pettinabile.*

Per la Proposizione 33 sappiamo che la caratteristica di Eulero di una varietà di dimensione dispari, compatta e orientabile è zero, ora dalla definizione di pettinabilità e dal teorema precedente possiamo affermare che

**Corollario 38.** *Ogni varietà compatta, connessa e orientabile di dimensione dispari è pettinabile.*

**Proposizione 39.** *La caratteristica di Eulero-Poincaré per una superficie di genere  $k$  è  $2 - 2k$ .*

*Dimostrazione.* Proporrò una prova euristica di questo fatto. Supponiamo che una superficie di genere  $k$  sia disposta verticalmente, ricoperta di paraffina e immersa in un ambiente che si sta scaldando fino a raggiungere la temperatura di fusione per la paraffina, che chiameremo  $T'$ . Indichiamo con  $f_t(x)$  la traiettoria del punto  $x$  all'istante  $t$ . Risulta chiaro che per  $T < T'$  la mappa  $f_t(x) = x$  è l'identità mentre una volta raggiunta la temperatura  $T'$ ,  $f_t$  è una mappa Lefschetz con una sorgente nel vertice superiore, un pozzo in quello inferiore e un punto di sella al vertice superiore ed inferiore di ogni buco. Per quanto visto alla fine della Sezione 2.2 nelle sorgenti e nei pozzi il numero di Lefschetz locale è  $+1$ , mentre nei punti di sella è  $-1$ . La nostra  $f_t$  (una volta raggiunta la temperatura  $T'$ ) per una superficie di genere  $k$  ha esattamente  $2k$  punti di sella, quindi per la Proposizione 34 la caratteristica

di Eulero è uguale al numero di Lefschetz globale per  $f_t$  che a sua volta è uguale alla somma dei numeri di Lefschetz locali, che è proprio

$$L(f) = L(id_x) = \chi(X) = 2 - 2k.$$

□

Un gruppo che sia anche una varietà e la cui operazione di gruppo sia liscia è detto essere un *gruppo di Lie*. Il *gruppo ortogonale*

$$O_n = \{A \in M_n(\mathbb{R}) : AA^T = I\}$$

è una varietà compatta e la sua operazione di gruppo (moltiplicazione tra matrici) è liscia, possiamo calcolare la sua caratteristica di Eulero-Poincaré? Sì e non solo possiamo farlo per ogni gruppo di Lie compatto.

**Proposizione 40.** *La caratteristica di Eulero-Poincaré di un gruppo di Lie compatto è 0.*

*Dimostrazione.* Consideriamo la moltiplicazione a sinistra sul gruppo  $G$  per l'elemento  $h \neq e$  ( $e$  è l'elemento neutro) appartenente alla componente connessa dell'elemento neutro.

$$f : G \rightarrow G, \quad g \mapsto hg$$

Essendo  $hg = g$  se e solo se  $h = e$ , questa mappa non ammette punti fissi.

Poiché  $h$  ed  $e$  appartengono alla stessa componente connessa  $C$ , allora questa è connessa per archi (vedi Proposizione 2) cioè per ogni coppia di punti di  $C$  esiste una curva liscia  $\gamma : I \rightarrow C \subset G$  che li congiunge. Quindi

$$F : G \times I \rightarrow G, \quad (g, t) \mapsto \gamma(t)g$$

è un omotopia tra  $f$  e  $id_G$  e dalla Proposizione 34 segue che  $\chi(G) = 0$ . □

La seguente proposizione consente di calcolare la caratteristica di Eulero-Poincaré per gli spazi prodotto.

**Proposizione 41.** *Siano  $X$  e  $Y$  varietà compatte e orientabili di cui almeno una sia senza bordo, allora*

$$\chi(X \times Y) = \chi(X) \cdot \chi(Y).$$



*Dimostrazione.* Se per ipotesi la dimensione di  $X$  è pari e quella di  $Y$  è dispari (o viceversa) possiamo utilizzare la Proposizione 33, che ci assicura  $\chi(X \times Y) = 0$  e  $\chi(X) = 0$ , quindi l'uguaglianza è certamente valida. Senza fare alcuna ipotesi sulle dimensioni invece procediamo nella maniera seguente.

Per definizione  $\chi(X) = L(id_X)$ ,  $\chi(Y) = L(id_Y)$  e  $\chi(X \times Y) = L(id_X \times id_Y)$  inoltre per la Proposizione 23 esistono  $f \sim id_X$  e  $g \sim id_Y$ . Ora scriviamo sotto forma di matrice

$$d(f \times g)_{(x,y)} - I = \left( \begin{array}{c|c} df_x - I & 0 \\ \hline 0 & dg_y - I \end{array} \right) \quad (3.1)$$

dove  $I$  è la matrice identica delle dimensioni opportune. Da questa scrittura risulta chiaro che  $(x, y)$  è un punto fisso di Lefschetz per  $f \times g$  se e solo se  $x$  e  $y$  sono punti fissi di Lefschetz per  $f$  e  $g$  rispettivamente. Non solo, per la Proposizione 27

$$L_{(x,y)}(f \times g) = \text{segn}(\det(d(f \times g)_{(x,y)} - I))$$

dalla matrice 3.1 si vede che il segno di quest'ultimo è proprio

$$\text{segn}(\det(df_x - I)) \cdot \text{segn}(\det(dg_y - I)) = L_x(f) \cdot L_y(g)$$

Quindi  $L(f \times g) = L(f) \cdot L(g)$  ed essendo il numero di Lefschetz globale un invariante omotopico (vedi Proposizione 25) risulta provato:  $\chi(X \times Y) = \chi(X) \cdot \chi(Y)$ .  $\square$

# Bibliografia

- [1] Victor Guillemin e Alan Pollack, *Differential Topology*, Prentice-Hall, Inc., *Englewood Cliffs, New Jersey*, 1974
- [2] John Milnor, *Topology, from the differentiable viewpoint*, University Press of Virginia, *Charlottesville*, 1965.
- [3] Morris W. Hirsh, *Differential Topology*, Springer-Verlag, 1976.
- [4] William Fulton, *Algebraic Topology*, Springer-Verlag, 1995.
- [5] Michael Artin, *Algebra*, Bollati Boringhieri, 1997.
- [6] Marco Abate, *Geometria*, McGraw-hill, 1996.
- [7] Klaus Jänich, *Topologia*, Zanichelli, 1994.
- [8] Czes Kosniowski, *Topologia*, Zanichelli, 1988.
- [9] Carlo Domenico Pagani e Sandro Salsa, *Analisi Matematica, volume 1*, Masson, 1997.